

دراسة مقارنة بين بعض من لوحات السيطرة من حيث حساسيتها للاختلافات ومتوسط طول التشغيل

* د.عبد الرحيم خلف راهي *

* د.عبد الله محمد علي عطا

الخلاصة:

تصميم لوحات السيطرة Control Charts باستخدام معيار اقتصادي أمثل لها أهمية كبيرة في كثير من الدراسات، نماذج مختلفة وعديدة للعملية الانتاجية طورت وكان لها مجال تطبيقى من خلال استخدام لوحات السيطرة.

في هذا البحث سيتم مقارنة ثلاثة انواع من اللوحات وهي لوحة المتوسط \bar{X} ، ولوحة المجموع المترافق Cusum ، ولوحة المعدل الهندسي المتحرك GMA باستخدام معيار حساسية وفاعلية اللوحات من خلال ايجاد (Power) اي سرعة اكتشاف وتشخيص الانحراف في متوسط العملية الانتاجية ونذرجة الدول الخاصة بهذه اللوحات والتي هي نوع اللوحة Type of com وحجم العينة Sample size وعدد العينات Number of samples ، ومقدار الانحراف او التغير في متوسط العملية الانتاجية Magnitude of shift in process ، إذ تم استخدام مسويات مختلفة لكل من هذه الدول لاظهار حساسيتها وفاعليتها لبيان مدى تأثيرها على اللوحات في كشف وتشخيص الانحرافات والاختلافات في العملية الانتاجية، حيث ان لوحة المتوسط \bar{X} أكثر حساسية في حالة الانحرافات الكبيرة وتكون غير فاعلة وكفؤة في كشف الانحرافات

* استاذ مساعد / جامعة السليمانية / كلية الادارة والاقتصاد / قسم الاحصاء

* مدرس / البسن

مقبول النشر بتاريخ 15/3/2006

بحث مستقل من رسالة ماجستير

الصغيرة، في حين تمتاز لوحة Cusum بفاعلية أعلى في كشف الانحرافات الصغيرة في حين لوحة GMA تعطي نتائج جيدة عند الانحرافات المتوسطة في العملية الانتاجية عند (1.5σ) ، فضلاً عن تأثير حجم العينة فمن خلال النتائج التي تم التوصل إليها نجد أن حساسية وفاعلية اللوحات يزداد مع زيادة حجم العينة (n) ومع زيادة عدد العينات (r) وهذا ما أكد جدول تحليل التباين الذي يوضح معنوية وأهمية كلًا من حجم العينة (n) وعدد العينات (r) .

الفصل الأول الجانب النظري

2-1 مقدمة:

تعد لوحات السيطرة من أهم الأساليب المستخدمة للسيطرة على العملية الانتاجية حيث تستخدم لاغراض عده وهي للسيطرة على التغيرات او الانحرافات التي تحدث في العملية الانتاجية سواء كان على التغيرات في معدل الانتاج او في تباين او انحرافات الانتاج او كلاهما. ان لوحات السيطرة هي عبارة عن خارطة بيانية تستخدم كوسيلة لاتخاذ القرار المناسب بشأن سير العملية الانتاجية في مراحل الانتاج وابداءً من مرحلة استلام المواد الاولية ولغاية وصول السلعة الى المستهلك وفق الموصفات المحددة لها .

وتكون لوحات السيطرة من محورين المحور الرئيسي والذي يمثل المؤشرات الاحصائية الخاصة المرتبطة بالنوعية والمحور الافقى والذي يمثل الزمن او تسلسل العينات المسحوبة من الانتاج. ولها ثلاثة خطوط افقية متوازية تحدد ما يجب ان تكون عليه المؤشرات الاحصائية للعملية الانتاجية او المستوى المطلوب تحقيقه للخاصية المميزة لنوعية المنتوج فالخط الوسطي يمثل متوسط الخاصية المميزة لنوعية المنتوج، اما الخطان الاخران فيمثل الاول الحد الاعلى للسيطرة والآخر الحد الاننى للسيطرة .

و عند رسم نوحة السيطرة فاذا وقعت نقطة واحدة او اكثر خارج حدود السيطرة يعني بأن العملية خارج السيطرة ويجب البحث عن الاسباب التي ادت الى ذلك. واذا لم تقع اي نقطة خارج حدود السيطرة دل ذلك بان العملية الانتاجية تحت السيطرة .

1. لوحة (X̄) (لوحة المتوسط) :

لوحة المتوسط وهي اللوحة قيد الدراسة إذ ان فكرة لوحة المتوسط (\bar{X}) مبنية في الاساس على التوزيع الطبيعي وتستخدم هذه اللوحة في ايجاد التقديرات الحاصلة في متوسط العينات.

وتشير هذه اللوحة الى التغيرات الحاصلة في متوسط العينات حيث لها ثلاثة خطوط افقية متوازية، وهي الخط الوسطي (CL) والخط الاعلى (UCL) الذي يمثل الحد الاعلى للسيطرة والخط الادنى (LCL) الذي يمثل الحد الادنى للسيطرة وعملية استخدام ورسم هذه اللوحة تتم كالتالي :

- يتم حساب متوسط كل عينة لكي نرسمها مقابل عدد العينات (r)

$$\bar{X}_i = \frac{\sum_{i=1}^n X_i}{n} \quad \dots \dots \dots \quad (1)$$

- ومن ثم تقوم بحساب متوسط المتوسطات بالصيغة الآتية

$$\bar{X} = \frac{\sum_{i=1}^r \bar{X}_i}{r} \quad \dots \dots \dots \quad (2)$$

إذ ان :

\bar{X}_i : يمثل متوسط العينات الجزئية ، r : عدد العينات

- تقوم بتقدير الانحراف المعياري للمتوسطات كالتالي

$$\sigma_{\bar{X}} = \frac{\bar{R}}{dn} \quad \dots \dots \dots \quad (3)$$

إذ ان :

\bar{R} : هو متوسط مديات العينات

dn : معامل يتم الحصول عليه من جداول توزيع المدى النسبي

- وان نحسب حد السيطرة الاعلى والادنى وكالتالي :

$$U.C.L = \bar{X} + A 0.001 \sigma_{\bar{X}} \quad \dots \dots \dots \quad (5) , \quad L.C.L = \bar{X} - A 0.001 \sigma_{\bar{X}} \quad \dots \dots \dots \quad (6)$$

$$\text{إذا ان : } \sigma_{\bar{X}} = \frac{\sigma_X}{\sqrt{n}} , \quad A0.001 + \frac{3}{\sqrt{n}}$$

وان احتمال ان تقع قيم (\bar{X}_i) لكل العينات بين الحد الاعلى والادنى للسيطرة هو (99.73%) وان احتمال وقوعها خارج الحدين هو (0.27%). فإذا وقعت قيم (\bar{X}_i) بين حدود السيطرة الاعلى والادنى فيشير ذلك الى ان العملية تحت السيطرة (In control)، اما اذا وقعت قيمة واحدة او اكثر من قيم (\bar{X}_i) خارج حدود السيطرة فيشير ذلك ان العملية الانتاجية خارج السيطرة (Out of control). ويستدعي هنا الكشف عن المسبيبات التي ادت الى ان تكون العملية الانتاجية خارج حدود السيطرة.

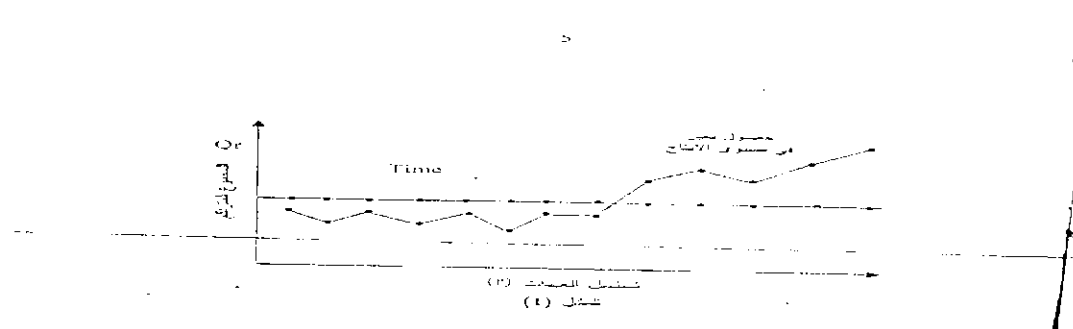
2. لوحة السيطرة التجميعية : Cumulative Sum Control Charts

لوحة السيطرة للمجموع المتراكم هي تراكم لمجموع الفروق بين متوسط العينة وقيمة مرجعية يرمز لها (m), وهذا التعديل اضاف للوحات السيطرة حساسية اكبر في كشف وملحظة الانحرافات المتوسطة والصغيرة التي لها تأثير كبير على متوسط العملية الانتاجية. وفكرة هذه اللوحة هي : ان نقوم بسحب (r) من العينات العشوائية للاواسط الحسابية $\bar{X}_1, \bar{X}_2, \dots, \bar{X}_r$ ، ثم نقوم لفترات زمنية منتظمة من مجتمع يتوزع طبيعيا بمتوسط حسابي (μ) وتباين (σ^2), ثم نقوم بمقارنة هذه الاواسط الحسابية مع قيمة يرمز لها بالرمز (m) يتم تحديدها واختيارها من قبل الباحث او الشركة، حيث تكون قيمة (m) قريبة من قيمة الهدف ($T=m$) ومن ثم تقوم بحساب المقدار (Q_r) حسب الصيغة الآتية :

$$Q_r = \sum_{i=1}^r (\bar{X}_i - m) \quad \dots \quad (7)$$

ولكي ترسم منحنى لوحة السيطرة التجميعية فاتنا نرسم المقدار (Q_r) مقابل عدد العينات (r) فلما كانت قيمة ($M=m$) فان منحنى لوحة السيطرة التجميعية يكون مساويا الى الصفر وهذا يعني ان العملية الانتاجية تكون تحت السيطرة . اما اذا كانت ($M \neq m$) فقد نحصل على قيمة $-Q_r$ ، اما موجبة او سالبة فعندما تكون قيم (\bar{X}_i) اكبر من قيمة (m) فان الفروق سوف تكون موجبة وذلك يدل على ان منحنى لوحة السيطرة (Cusum) سيكون متزايد (تصاعدي). وعندما تكون قيم (\bar{X}_i) اقل من قيمة (m) فان الفروق سوف تكون سالبة ويدل ذلك على ان منحنى لوحة السيطرة (Cusum) سيكون متناقص (تنازلي) .

وعلى الرغم من سهولة استخدام لوحة السيطرة التجميعية وفعاليتها في تشخيص وكشف الانحرافات الصغيرة خلال العملية الانتاجية الا انها لاتعطينا اشارة واضحة .



طراائق اتخاذ القرار :

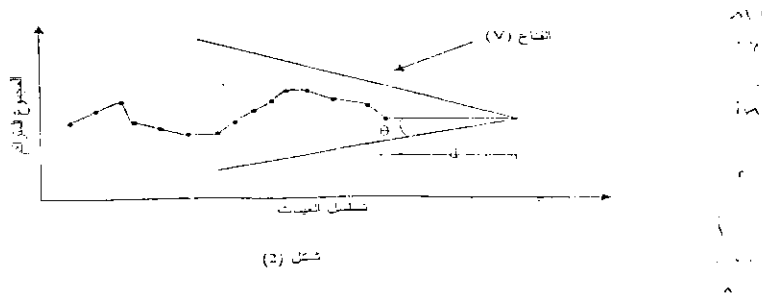
هناك طريقةان لاتخاذ القرار الذي يحدد فيما اذا كانت العملية الانتاجية تقع خارج او داخل السيطرة : هما :

- اولاً : طريقة القناع (v)
- ثانياً : طريقة فترة القرار (Decision interval)

اولاً : طريقة القناع (v-mask) :

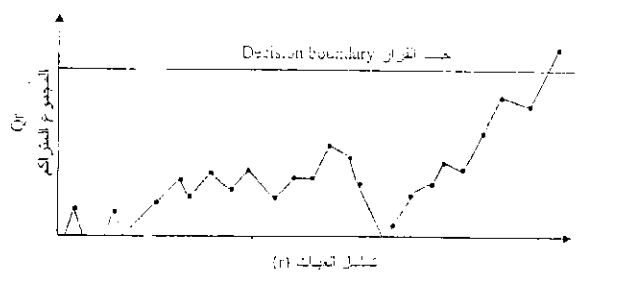
للكشف عن الانحرافات وتشخيصها في متوسط العملية الانتاجية من جانبيين فان القناع (v-mask) الذي اقترحه (Barnard) عام (1959) يستخدم بصورة عامة لاتخاذ القرار في لوحة (Cusum) بعد رسمها وان اسلوب اتخاذ القرار هنا يتضمن ان نضع الشكل (v) على لوحة المجموع المتراكם، ويعتمد هذا على تحديد قيمتين، القيمة الاولى هي المسافة الافقية (Lead distance) بين اخر نقطة من نقاط لوحة (Cusum) ورأس الشكل (v) ويرمز لها بالرمز (d) . والقيمة الثانية تمثل الزاوية المحصورة بين ذراعي الشكل (v) ويرمز لها (θ) .

اذا وقع منحني المجموع المتراكם بين ذراعي القناع v - تكون العملية الانتاجية تحت السيطرة، اما اذا قطع المنحني احد ذراعي القناع v - فان العملية تكون خارج السيطرة . فإذا قطع الرسم الذراع العلوي للقناع v - دل ذلك على ان متوسط العملية الانتاجية في حالة تزايد وإذا قطع الذراع السفلي للشكل (v) دل ذلك على ان العملية الانتاجية في حالة تنقص.



ثانياً : طريقة فترة القرار Decision interval

يستخدم هذا الاختبار لتشخيص وكشف الاتحرافات من جانب واحد (One-side test) إذا كان التغير في متوسط العملية الانتاجية تصاعديا (Upward shift)، إذ نقوم برسم منحني لوحة المجموع المتراكم (Cusum) ونقوم بتحديد حد اتخاذ القرار (Decision boundary) والذي يرمز له بالرمز (h) اذا قطع منحني المجموع المتراكم (Cusum) المستقيم (h) يدل ذلك على انه يوجد تغيير في متوسط العملية الانتاجية وان نوعية الانتاج ليست جيدة، وكما موضح في الشكل الآتي :



ويمكن استخدام هذه الطريقة لكشف التغير السالب في متوسط العملية الانتاجية ويرمز لحد اتخاذ القرار هنا ($-h$)، وهذه الطريقة لها عيوب وهي انها تقوم بكشف الاتحرافات الصغيرة جدا والتي تعد احيانا ليس لها تأثير على متوسط العملية الانتاجية . اذ اننا نستطيع تطبيق هذه الطريقة رياضيا من دون اللجوء الى الرسم وذلك من خلال تحديد قيمتين k ، h ، $k < h$ ، إذ ان $(M+h)$ هي مستوى النوعية المرفوض (rejectable quality level) ، اما $(M+k)$ هي المتوسط بين M و $(M+h)$.

عندما تكون ($\bar{X} > M + k$) فاننا نبدأ بحساب (Q_r) عندما ($m = \hat{M} + k$) ويتم حسابها بالصيغة الآتية :

$$Q_r = \sum_{i=1}^r [\bar{X}_i - (\hat{M} + k)] \quad \dots \dots \dots (8)$$

فإذا كانت قيمة (Q_r) مساوية او قريبة جداً من الصفر دلّ ذلك على ان العملية الانتاجية تحت السيطرة، اما اذا كانت قيمة ($Q_r > M + h$) دلّ ذلك على ان العملية الانتاجية خارج السيطرة . كما يمكن استخدام ($\hat{M} - h$) كحد ادنى للرفض(Lower rejected quality) . وهذا تكون قيمة (m) مساوية الى ($\hat{M} - h$) وان ($\hat{M} - h$) يمثل المتوسط بين (\hat{M}) و ($\hat{M} - h$) . اذا كانت ($\bar{X}_i < \hat{M} - k$) فاننا نقوم بحساب (Q_r) وحسب الصيغة الآتية :

$$Q_r + \sum_{i=1}^r [\bar{X}_i - (\hat{M} - k)] \quad \dots \dots \dots (9)$$

اذا كانت قيمة ($Q_r > 0$) تتوقف عن حساب (Q_r) وتعد العملية الانتاجية تحت السيطرة اما اذا كانت قيمة ($Q_r > M - h$) فان العملية الانتاجية تقع خارج السيطرة .

3. لوحة المعدل المتحرك الهندسي (GMA)

ان لوحة المعدل المتحرك الهندسي (GMA) لها القدرة على كشف التغيرات الصغيرة في متوسط العملية الانتاجية وقد تدعى في بعض الاحيان بالمعدل المتحرك الاسي الموزون (EWMA) (Exponential Weighted Moving Average) .

وذلك لأن هذه الاوزان كأنها منحني اسي متزاول عند ايصال بعضها بالبعض الاخر بواسطة المنحني وعندما تكون الدراسة للمفردات (X_i) وليس للمتوسطات (\bar{X}_i) إذ تستخدم لوحة (GMA) بصورة واسعة في نماذج السلاسل الزمنية والتنبؤات . وفي عملية اتخاذ القرار لجميع البيانات السابقة ولكن بأوزان مختلفة، إذ انه كلما كانت البيانات أقدم كلما كان وزنها أقل وان احدث وزن يعطى لحدث مشاهدة . وت تكون لوحة المعدل المتحرك الهندسي (GMA) من ثلاثة خطوط متوازية . يمثل ($\bar{X} = W_0 T = W_0$) او ($\bar{X} = W_1 T = W_1$) خط الوسط او قد يحدد خط الوسط من قبل الشركة او من الخبرة . ويبعد عن الحد الاعلى والحد الادنى بمقدار ثلاثة امثال الاحراف المعياري (3σ) . ويمكن استخدام لوحة (GMA) كما يأتي :

$$W_t + \lambda \bar{X}_t + (1 - \lambda) W_{t-1} \quad \dots \quad (10)$$

إذ ان \bar{X} تمثل متوسط العينات المأخوذة عند الزمن (t) بوزن (λ) وان ($0 < \lambda < 1$) وان قيمة العينة الاولى في الوقت ($t=1$) هي ($\bar{X}_1 = \bar{X}$). او قد تأخذ من نتائج سابقة او من الخبرة. وان (GMA_{Wt}) هي المعدل الموزون لكافة متوسطات العينة السابقة.

$$\sigma_{w_t}^2 = \frac{\sigma^2}{n} \left(\frac{\lambda}{2 - \lambda} \right) \left[1 - (1 - \lambda)^{2t} \right] \quad \dots \quad (11)$$

وعندما تزداد (t) فان ($\sigma_{w_t}^2$) تزداد لتصل الى قيمة محددة.

$$\sigma_{w_t}^2 = \frac{\sigma^2}{n} \left(\frac{\lambda}{2 - \lambda} \right)$$

وبالتالي فان حدود السيطرة سوف تكون كالتالي :

$$UCL = \bar{X} + 3\sigma \sqrt{\frac{\lambda}{(2 - \lambda)n}} \quad \dots \quad (12)$$

$$LCL = \bar{X} - 3\sigma \sqrt{\frac{\lambda}{(2 - \lambda)n}} \quad \dots \quad (13)$$

ونحسب الصيغتين (12)، (13) لحدود السيطرة عندما تكون (t) كبيرة اي عندما ($t \geq 5$) ، وعندما تكون (t) صغيرة فان حدود السيطرة تحسب مع الاحرف المعياري في الصيغة (11).

المراحل المستخدمة لتجربة المدحكة :

إذ قمنا بمراحل تجربة المحاكاة وكانت كالتالي :

المراحل الاولى :

مرحلة تعين القيم الافتراضية وهي من المراحل المهمة التي تعتمد عليها المراحل الاخرى اللاحقة ويتم اختيار القيم الافتراضية كالتالي :

1. اختيار حجم العينة (n) :

لقد تم اختيار ثلاثة جحوم للعينات في التجربة وكانت كالتالي ($n=3,4,5$) .

2. اختيار عدد (سلسل) العينات (r) :

تم اختيار ثلاثة مستويات لعدد العينات في التجربة وكانت كالتالي ($r=25,50,75$) .

3. تحديد القيم الافتراضية :

إذ اختيرت معلم للتوزيع الطبيعي للتجربة وكما يأتي :

$$(\mu=20,40,60) , (\sigma^2=9,16,25)$$

المراحلة الثانية :

مرحلة توليد البيانات لمتغير ينبع التوزيع الطبيعي $N(0,1)$ ، وذلك باستخدام اسلوب - Box-Muller)

المراحلة الثالثة :

مرحلة ايجاد حدود السيطرة للوحات ورسم اللوچات حسب الصيغ والمعادلات المذكورة في الجانب النظري الذي تناوله البحث .

المراحلة الرابعة :

مرحلة المقارنة بين لوحات السيطرة بالاعتماد على :

1. حساب حساسية اللوحة (Power) :

حيث تم حساب (Power) على الشكل الآتي :

عدد الحالات التي تحتوي على الأقل نقطة واحدة خارج السيطرة

$$\text{Power} = \frac{\text{عدد الحالات الكلية}}{(15)}$$

2. التحليل الاحصائي لتجارب المحاكاة :

بعد استخراج النتائج وتحليلها وتفسيرها، يتطلب منا معرفة أي من العوامل المستخدمة في الدراسة معنوي أو له تأثير معنوي، فقد تم استخدام جدول تحليل التباين (ANOVA)، واستخدام طريقة الفرق المعنوي الأصغر وذلك باستخدام البرنامج الجاهز (SPSS) .

1- تحليل التباين (Analysis of Variance) :

هو تقسيم الاختلافات الكلية من التجارب الى مصادرها المختلفة وتجزئتها الى مركبات عدّة احدها الى العشوائية، وقد استخدم (فيشر) هذه المركبة للمقارنة مع بقية مركبات التباين، وهو ايضا اجراء بعض العمليات الرياضية لتقسيم مجموع المربعات الكلي لمجموعة من البيانات على مصادر التباين المختلفة والمسؤولة عن وجوده . وهو عبارة عن اسلوب رياضي لتجزئة التباين الكلي للمشاهدات التجريبية الى مكوناته الاساسية التي يمكن تقديرها.

2- اختيار العوامل ومستويات العامل level : Selection of factors and the factor level

التأثير للعوامل الاربعة اثناء عملية الانتاج مشاهدة ومحالة كما في الجدول التالي، إذ ان العوامل الاربعة هي نوع اللوحة كان لدينا اربع لوحات وهي لوحة (\bar{X}_1) ولوحة (\bar{X}_2) ، إذ تعتد الاولى على الانحراف المعياري الذي يحسب بالطريقة الاعتيادية والثانية على الانحراف المعياري بالاعتماد على المدى كما موضح سابقاً. ولوحة (Cusum) ولوحة (GMA)، والعامل الثاني هو حجم العينة ويعتمد على ثلاثة مستويات n_1, n_2, n_3 ، والعامل الثالث هو تسلسل العينات ويعتمد على ثلاثة مستويات r_1, r_2, r_3 ، اما العامل الرابع فهو حجم التغير في اداء العملية الانتاجية في التجربة وله ستة مستويات وهي : $3\sigma, 2.5\sigma, 2\sigma, 1.5\sigma, 1\sigma, 0.5\sigma$.

والجدول الآتي يوضح اختيار العوامل ومستويات العامل

المستويات						اسم العامل
6	5	4	3	2	1	
		GMA	Cusum	\bar{X}_1	\bar{X}_2	1. نوع اللوحة
			5	4	3	2. حجم العينة (n)
			75	50	25	3. تسلسل العينات
3σ	2.5σ	2σ	1.5σ	1σ	0.5σ	4. حجم التغير (الاختلاف)

2. طريقة الفرق المعنوي الاصغر : (Least-significant difference)

ويرمز لهذه الطريقة بـ (L.S.D) وناتي تسميتها من قيمة (t) التي تستخدم في اختبار الفروق بين المتوسطات وهي اقل قيمة يجب ان يتجاوزها الفرق بين المتوسطين لكي يكون معنواً . اذ تستخدم هذه الطريقة للمقارنة بين متطلبات المعالجات وتستخرج حسب الخطوات الآتية :

1. احتساب قيمة (t) من جداول قيمة (t) وبمستوى دلالة معين وليكن بمستوى 0.05 و 0.01 وبدرجة حرية الخطأ التجاري .

2. احتساب قيمة الانحراف المعياري وكما يأتي : في حالة عدم تساوي التكرارات .

$$Sd = \sqrt{S^2 \left[\frac{1}{r_1} + \frac{1}{r_2} + \dots + \frac{1}{r_n} \right]} \quad \dots \dots \dots (16)$$

إذ ان :

r_1, r_2, \dots, r_n : تكرارات التجربة .

S^2 : متوسط الخطأ التجاري .

وباستخدام الصيغة الآتية (في حالة تساوي التكرارات) :

$$Sd = \sqrt{\frac{2S^2}{r}} \quad \dots \dots \dots (17)$$

إذ ان :

S^2 : متوسط الخطأ التجاري .

r : تكرار التجربة .

3. ايجاد حاصل ضرب ناتج الخطوة (1) في ناتج الخطوة (2) فيكون هو الحد الاصغر للفرق .

$$LSD = (t) [Sd] \quad \dots \dots \dots (18)$$

4. احتساب متطلبات المعالجات وترتيبها تنازلياً وتحسب الفرق بين كل متوسطين ويقارن بقيمة الحد الاصغر وبذلك يمكن معرفة اي الفروق معنوية . فاذا كان الفرق بين المتوسطين اقل من الحد الاصغر للفرق فهذا يدل على ان الفرق بين المتوسطين اكبر من الحد الاصغر للفرق فان الفرق يعد معنواً .

الفصل الثاني الجانب التجاري

اولاً : تحليل تجربة المحاكاة (تمهيد) :

سنقوم في هذا المبحث باستعراض وتحليل نتائج المحاكاة وذلك من اجل عمل مقارنة بين لوحات السيطرة والتي هي لوحة \bar{X} ولوحة (Cusum)، ولوحة (GMA). من خلال استخدام معيار حساسية وفاعلية اللوحات (power) إذ حصلنا على نتائج المحاكاة بالاعتماد على برنامج كُتب بلغة (Visual Basic)، إذ تضمن هذا الفصل جانبان، الاول لاستعراض وتحليل نتائج المحاكاة وعمل المقارنة، والثاني يتضمن التحليل الاحصائي لنتائج المحاكاة من خلال تحليل التباين (ANOVA) وطريقة اقل فرق معنوي (LSD) لبيان تأثير العوامل، وقد استخدم النظام الاحصائي الجاهز (SPSS)، وقد قمنا باعداد (δ) كمدar للانحراف في متوسط العملية الانتاجية .

1. مقارنة اللوحات :

دراسة فاعلية وحساسية اللوحات باستخدام (Power) بالنسبة للوحتي (\bar{X}_1) و (\bar{X}_2) فقد استخدم لوحدة (S_g) للبيانات المولدة للمحاكاة والتي تتبع القانون

$$S_g = \sqrt{\frac{\sum_{i=1}^r S_i^2}{dn}}$$

اما بالنسبة لـ (\bar{X}_2) فقد استخدم S_g وحسب الصيغة الآتية :

$$S_g = \sqrt{\frac{\sum_{i=1}^r R_i}{r}} = \sqrt{\frac{dn}{dn}} = \bar{R}$$

في حالة $\delta = 0.5$ يظهر لنا بان قيمة (\bar{X}_1) و (\bar{X}_2) للوحتين متقاربة جداً ومتتشابهة، مما يدل على انه عند استخدام الانحراف الكلي او الانحراف بطريقة المدى لا يغير شئ، اما بالنسبة لحساسية اللوحات عندما $\delta = 0.5$ جدول (1)، فان حساسية لوحة (Cusum) تكون اكثر من لوحتي \bar{X} و (GMA) وهذا ايضاً يؤدي الى انه عندما يكبر حجم العينة (n) تزداد الحساسية، وكذلك عند زيادة عدد العينات (r) او تسلسل العينات. وكذلك تغير حساسية اللوحات عند تغير

النموذج، كما نلاحظ من الجدول (1) عند النموذج الاول تكون القيم اكبر من القيم في النموذج الثاني، والقيم في النموذج الثاني اكبر من القيم في النموذج الثالث .

وهذا ينطبق على الرسومات الثلاث للوحات السيطرة عندما $\delta = 0.5$ اي عند الانحرافات الصغيرة الشكل (4)، فان لوحة (Cusum) فيها حالي خروج عن السيطرة بينما لوحة \bar{X} ، ولوحة (GMA) لا تجد فيها اي حالة خروج عن السيطرة .

ومن ملاحظة الشكل (7) الذي يعطي منحنى (Power) حساسية اللوحة عند تغير عدد العينات وثبات حجم العينة فان لوحة (Cusum) عندما $\delta = 0.5$ تعطي قيمة اكبر من لوحة \bar{X} ، ولوحة (GMA) من ملاحظة الرسم في الشكل (7-a,b,c) .

ومن الجدول (2) عندما $\delta = 1$ نجد ان لوحة \bar{X} لها القدرة على اكتشاف الانحراف بفاعلية اعلى من لوحة (Cusum) وان الاخيره لها القدرة على اكتشاف الانحراف بفاعلية اكبر من (GMA) وتزداد حساسية اللوحات مع زيادة حجم العينة (n) وعدده العينات (r)، وتقل القيمة مع تغير النموذج اي ان قيمة حساسية اللوحة من خلال (Power) في النموذج الاول اكبر منها في النموذج الثاني، والقيم في النموذج الثاني اكبر منها في الثالث .

من ملاحظة الجدولين (3) و (4) .

عندما $\delta = 1.5$ ، نلاحظ بان حساسية لوحة (GMA) اكبر من حساسية لوحة (Cusum) وبالتالي حساسية لوحة \bar{X} اكبر من لوحة (GMA). وتزداد حساسية اللوحات بزيادة حجم العينة (n) وبزيادة عدد العينات (r) ، وتتساوى حساسية اللوحات عند (r_3) في جدول (4) عندما $\delta = 2$ ، وهذا ما يوضحه الشكل (7-c) .

ومن الجدولين (5) و (6) نجد في جدول (5) عندما $\delta = 2.5$ بان لوحة \bar{X} اكبر حساسية من لوحة (GMA) وان لوحة (Cusum) اكبر حساسية من لوحة (GMA) في كشف الانحرافات عند (r_1)، بينما تتساوى حساسية اللوحات عند r_2 ، r_3 .

ومن ملاحظة جدول (6) عندما $\delta = 3$ نجد ان لوحتي \bar{X} و (GMA) تكونان متساوين وسرعيتان في كشف الانحرافات مقارنة مع لوحة (Cusum) عند (r_1) بينما تتساوى جميع اللوحات عند r_3 ، r_2 في كشف الانحرافات وهذا ما يشير اليه الرسم للوحات السيطرة عند الانحرافات الكبيرة في الشكل (6) .

وهذا ما يوضحه منحنى حساسية اللوحات في الشكل (7-a,b,c) .

(1) جدول

قوة (حساسية اللوحة) لـ $\delta_{\mu} = 0.5$ بتغير قيم (n, r, μ, σ^2) وبالطرق الاربعة

Model	Methods	$r_1=25$			$r_2=50$			$r_3=75$		
		n1=3	n2=4	n3=5	n1=3	n2=4	n3=5	n1=3	n2=4	n3=5
Model $\mu=20$ $\sigma^2=9$	Xb-chart 1	0.003	0.004	0.005	0.008	0.011	0.013	0.011	0.016	0.021
	Xb-chart 2	0.003	0.004	0.005	0.008	0.011	0.013	0.011	0.016	0.021
	Cusum	0.008	0.012	0.002	0.191	0.211	0.224	0.435	0.450	0.477
	GMA	0.000	0.001	0.000	0.003	0.004	0.004	0.006	0.010	0.010
Model $\mu=40$ $\sigma^2=16$	Xb-chart 1	0.002	0.003	0.003	0.004	0.007	0.007	0.008	0.008	0.010
	Xb-chart 2	0.002	0.003	0.003	0.004	0.007	0.007	0.008	0.008	0.010
	Cusum	0.006	0.008	0.010	0.171	0.185	0.188	0.401	0.415	0.248
	GMA	0.000	0.001	0.001	0.002	0.002	0.002	0.004	0.004	0.005
Model $\mu=60$ $\sigma^2=25$	Xb-chart 1	0.001	0.001	0.003	0.004	0.004	0.006	0.006	0.008	0.009
	Xb-chart 2	0.001	0.001	0.003	0.004	0.004	0.006	0.006	0.008	0.009
	Cusum	0.008	0.008	0.008	0.158	0.170	0.170	0.385	0.397	0.404
	GMA	0.000	0.000	0.001	0.002	0.002	0.002	0.002	0.004	0.006

(2) جدول

قوة (حساسية اللوحة) لـ $\delta_{\mu} = 1$ بتغير قيم (n, r, μ, σ^2) وبالطرق الاربعة

Model	Methods	$r_1=25$			$r_2=50$			$r_3=75$		
		n1=3	n2=4	n3=5	n1=3	n2=4	n3=5	n1=3	n2=4	n3=5
Model $\mu=20$ $\sigma^2=9$	Xb-chart 1	0.673	0.687	0.697	0.908	0.915	0.921	0.975	0.975	0.987
	Xb-chart 2	0.673	0.687	0.697	0.908	0.915	0.921	0.975	0.975	0.978
	Cusum	0.369	0.373	0.382	0.837	0.839	0.846	0.967	0.963	0.967
	GMA	0.361	0.366	0.374	0.682	0.697	0.703	0.845	0.850	0.861
Model $\mu=40$ $\sigma^2=16$	Xb-chart 1	0.658	0.664	0.676	0.904	0.901	0.908	0.971	0.971	0.972
	Xb-chart 2	0.658	0.664	0.676	0.904	0.901	0.908	0.971	0.971	0.972
	Cusum	0.355	0.364	0.357	0.829	0.836	0.836	0.961	0.963	0.958
	GMA	0.346	0.350	0.357	0.672	0.681	0.681	0.838	0.842	0.845
Model $\mu=60$ $\sigma^2=25$	Xb-chart 1	0.653	0.663	0.663	0.897	0.899	0.901	0.964	0.967	0.973
	Xb-chart 2	0.653	0.663	0.663	0.897	0.899	0.901	0.963	0.967	0.973
	Cusum	0.357	0.362	0.361	0.832	0.831	0.834	0.985	0.960	0.961
	GMA	0.347	0.344	0.349	0.668	0.671	0.671	0.828	0.837	0.839

جدول (3)

قوة (حساسية اللوحة) لـ $\delta_\mu = 1.5$ بتغير قيم (n, r, μ, σ^2) وبالطرق الاربعة

Model	Methods	$r_1=25$			$r_2=50$			$r_3=75$		
		$n1=3$	$n2=4$	$n3=5$	$n1=3$	$n2=4$	$n3=5$	$n1=3$	$n2=4$	$n3=5$
$\mu=20$ $\sigma^2=9$	Xb-chart 1	0.990	0.993	0.992	1.000	1.000	1.000	1.000	1.000	1.000
	Xb-chart 2	0.990	0.993	0.992	1.000	1.000	1.000	1.000	1.000	1.000
	Cusum	0.780	0.789	0.787	0.986	0.986	0.988	0.999	0.999	0.999
	GMA	0.889	0.886	0.890	0.994	0.994	0.994	1.000	1.000	1.000
$\mu=40$ $\sigma^2=16$	Xb-chart 1	0.991	0.992	0.991	1.000	1.000	1.000	1.000	1.000	1.000
	Xb-chart 2	0.991	0.992	0.991	1.000	1.000	1.000	1.000	1.000	1.000
	Cusum	0.779	0.770	0.773	0.987	0.985	0.987	0.999	0.999	0.999
	GMA	0.889	0.887	0.889	0.993	0.992	0.993	1.000	1.000	1.000
$\mu=60$ $\sigma^2=25$	Xb-chart 1	0.992	0.991	0.991	1.000	1.000	1.000	1.000	1.000	1.000
	Xb-chart 2	0.992	0.991	0.991	1.000	1.000	1.000	1.000	1.000	1.000
	Cusum	0.769	0.772	0.788	0.986	0.988	0.988	1.000	0.999	0.999
	GMA	0.889	0.880	0.883	0.922	0.993	0.991	1.000	0.999	1.000

جدول (4)

قوة (حساسية اللوحة) لـ $\delta_\mu = 2$ بتغير قيم (n, r, μ, σ^2) وبالطرق الاربعة

Model	Methods	$r_1=25$			$r_2=50$			$r_3=75$		
		$n1=3$	$n2=4$	$n3=5$	$n1=3$	$n2=4$	$n3=5$	$n1=3$	$n2=4$	$n3=5$
$\mu=20$ $\sigma^2=9$	Xb-chart 1	1.000	1.000	1.000	1.000	1.000	1.000	1.000	1.000	1.000
	Xb-chart 2	1.000	1.000	1.000	1.000	1.000	1.000	1.000	1.000	1.000
	Cusum	0.943	0.942	0.939	1.000	0.999	0.999	1.000	1.000	1.000
	GMA	0.989	0.990	0.989	1.000	1.000	1.000	1.000	1.000	1.000
$\mu=40$ $\sigma^2=16$	Xb-chart 1	1.000	1.000	1.000	1.000	1.000	1.000	1.000	1.000	1.000
	Xb-chart 2	1.000	1.000	1.000	1.000	1.000	1.000	1.000	1.000	1.000
	Cusum	0.953	0.973	0.941	1.000	0.999	1.000	1.000	1.000	1.000
	GMA	0.991	0.989	0.991	1.000	1.000	1.000	1.000	1.000	1.000
$\mu=60$ $\sigma^2=25$	Xb-chart 1	1.000	1.000	1.000	1.000	1.000	1.000	1.000	1.000	1.000
	Xb-chart 2	1.000	1.000	1.000	1.000	1.000	1.000	1.000	1.000	1.000
	Cusum	0.941	0.940	0.940	0.999	0.999	1.000	1.000	1.000	1.000
	GMA	0.989	0.989	0.990	1.000	1.000	1.000	1.000	1.000	1.000

جدول (5)

قوة (حساسية اللوحة) لـ $\delta_{\mu} = 2.5$ بتغير قيم (n, r, μ, σ^2) وبالطرق الاربعة

Model	Methods	$r_1=25$			$r_2=50$			$r_3=75$		
		$n1=3$	$n2=4$	$n3=5$	$n1=3$	$n2=4$	$n3=5$	$n1=3$	$n2=4$	$n3=5$
$\mu=20$ $\sigma^2=9$	Xb-chart 1	1.000	1.000	1.000	1.000	1.000	1.000	1.000	1.000	1.000
	Xb-chart 2	1.000	1.000	1.000	1.000	1.000	1.000	1.000	1.000	1.000
	Cusum	0.987	0.988	0.986	1.000	0.999	0.999	1.000	1.000	1.000
	GMA	0.999	0.999	0.999	1.000	1.000	1.000	1.000	1.000	1.000
$\mu=40$ $\sigma^2=16$	Xb-chart 1	1.000	1.000	1.000	1.000	1.000	1.000	1.000	1.000	1.000
	Xb-chart 2	1.000	1.000	1.000	1.000	1.000	1.000	1.000	1.000	1.000
	Cusum	0.989	0.986	0.958	1.000	0.999	1.000	1.000	1.000	1.000
	GMA	1.000	0.999	1.000	1.000	1.000	1.000	1.000	1.000	1.000
$\mu=60$ $\sigma^2=25$	Xb-chart 1	1.000	1.000	1.000	1.000	1.000	1.000	1.000	1.000	1.000
	Xb-chart 2	1.000	1.000	1.000	1.000	1.000	1.000	1.000	1.000	1.000
	Cusum	0.986	0.988	0.987	0.999	0.999	1.000	1.000	1.000	1.000
	GMA	0.999	1.000	0.999	1.000	1.000	1.000	1.000	1.000	1.000

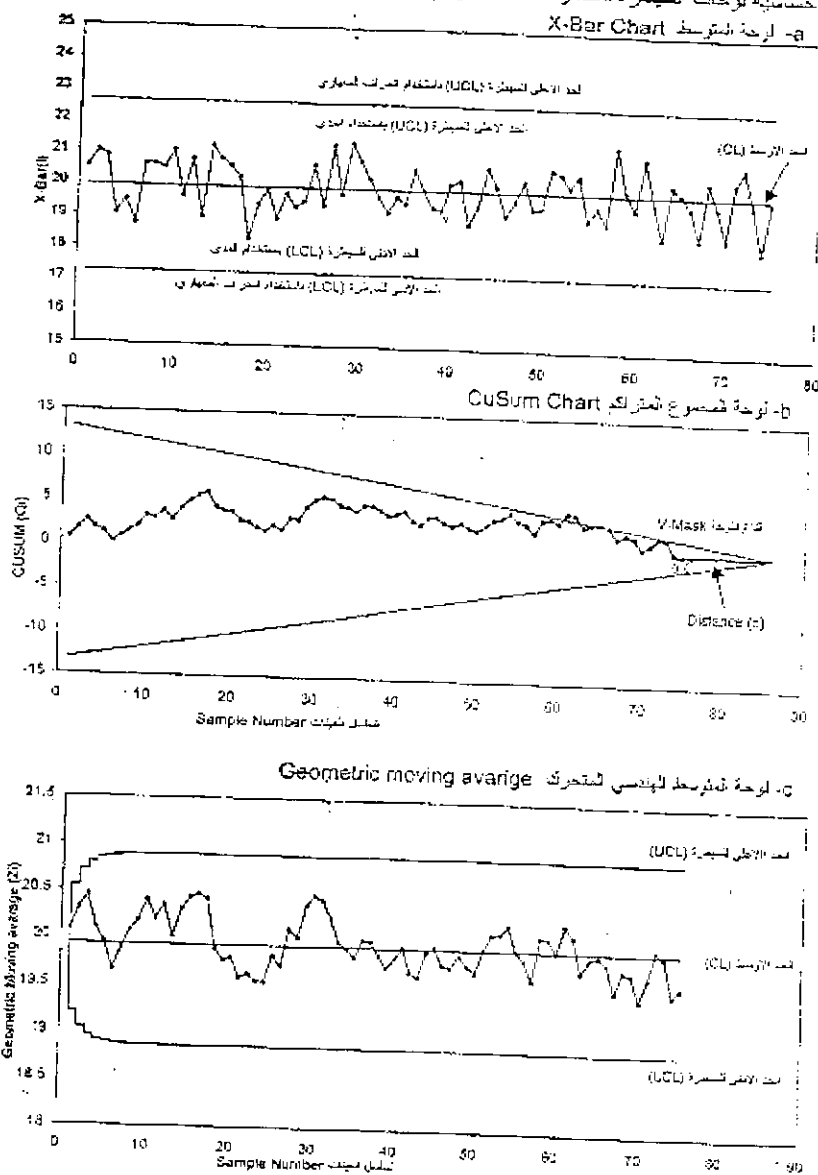
جدول (6)

قوة (حساسية اللوحة) لـ $\delta_{\mu} = 3$ بتغير قيم (n, r, μ, σ^2) وبالطرق الاربعة

Model	Methods	$r_1=25$			$r_2=50$			$r_3=75$		
		$n1=3$	$n2=4$	$n3=5$	$n1=3$	$n2=4$	$n3=5$	$n1=3$	$n2=4$	$n3=5$
$\mu=20$ $\sigma^2=9$	Xb-chart 1	1.000	1.000	1.000	1.000	1.000	1.000	1.000	1.000	1.000
	Xb-chart 2	1.000	1.000	1.000	1.000	1.000	1.000	1.000	1.000	1.000
	Cusum	0.988	0.998	0.997	1.000	0.999	0.999	1.000	1.000	1.000
	GMA	1.000	1.000	1.000	1.000	1.000	1.000	1.000	1.000	1.000
$\mu=40$ $\sigma^2=16$	Xb-chart 1	1.000	1.000	1.000	1.000	1.000	1.000	1.000	1.000	1.000
	Xb-chart 2	1.000	1.000	0.997	1.000	1.000	1.000	1.000	1.000	1.000
	Cusum	0.997	0.997	1.000	1.000	0.999	1.000	1.000	1.000	1.000
	GMA	1.000	1.000	1.000	1.000	1.000	1.000	1.000	1.000	1.000
$\mu=60$ $\sigma^2=25$	Xb-chart 1	1.000	1.000	1.000	1.000	1.000	1.000	1.000	1.000	1.000
	Xb-chart 2	1.000	1.000	0.997	1.000	1.000	1.000	1.000	1.000	1.000
	Cusum	0.997	0.997	1.000	0.999	0.999	1.000	1.000	1.000	1.000
	GMA	1.000	1.000	1.000	1.000	1.000	1.000	1.000	1.000	1.000

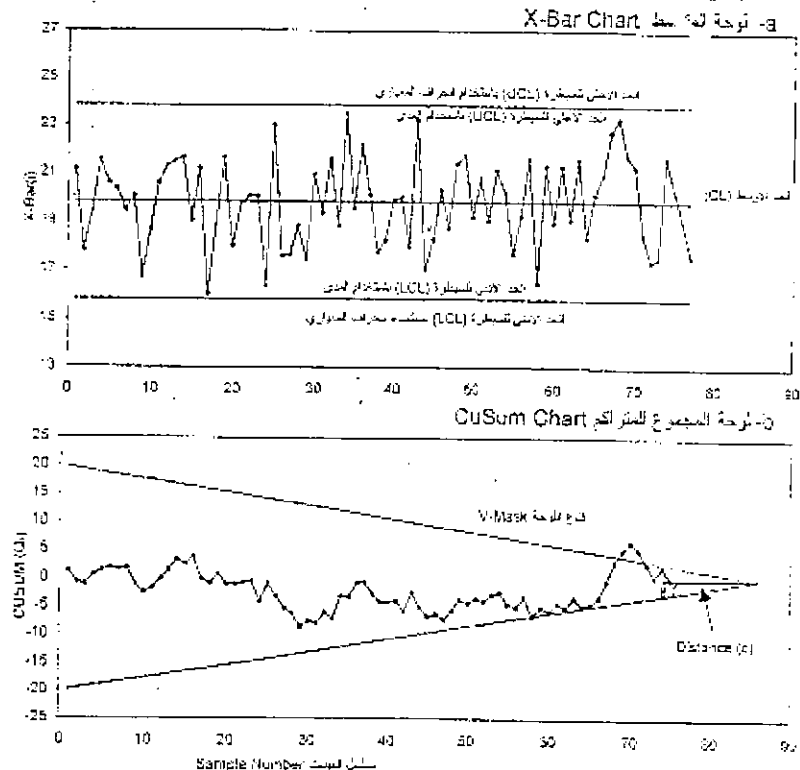
(4) شكل

حسابية توجيهات السيطرة لذانحرات المصغير؛ ($\mu=20$, $\sigma^2=9$, $\delta_\mu=0.5$, $r=75$, $n=5$)

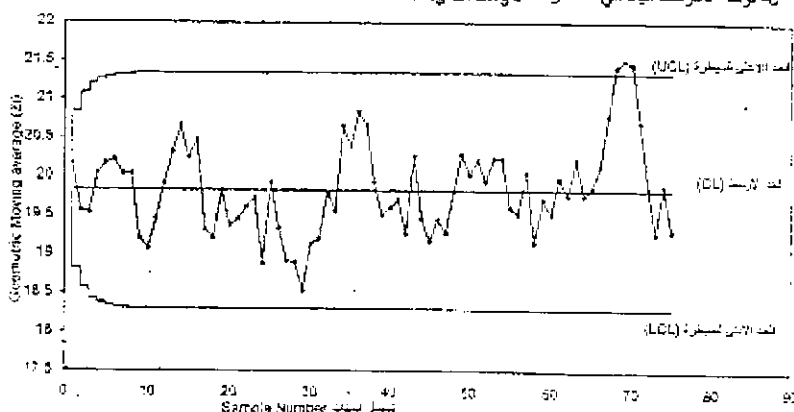


شكل (٥)

حالية لوحات الـ X-Bar Chart لاختبارات المتوسطة ($\mu=20$, $\sigma^2=9$, $\delta_\mu=1.5$, $r=75$, $n=5$)

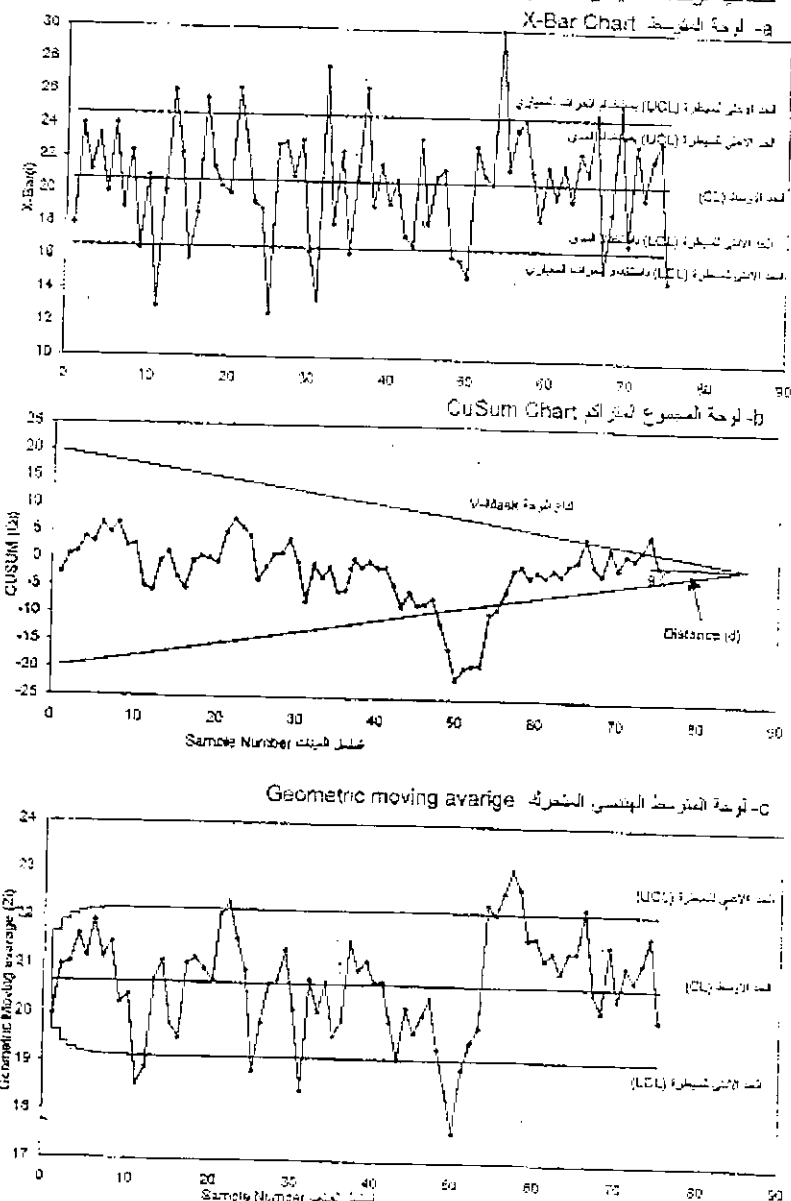


ج- نوحة تجربة المتوسط الپیشى المتحرك



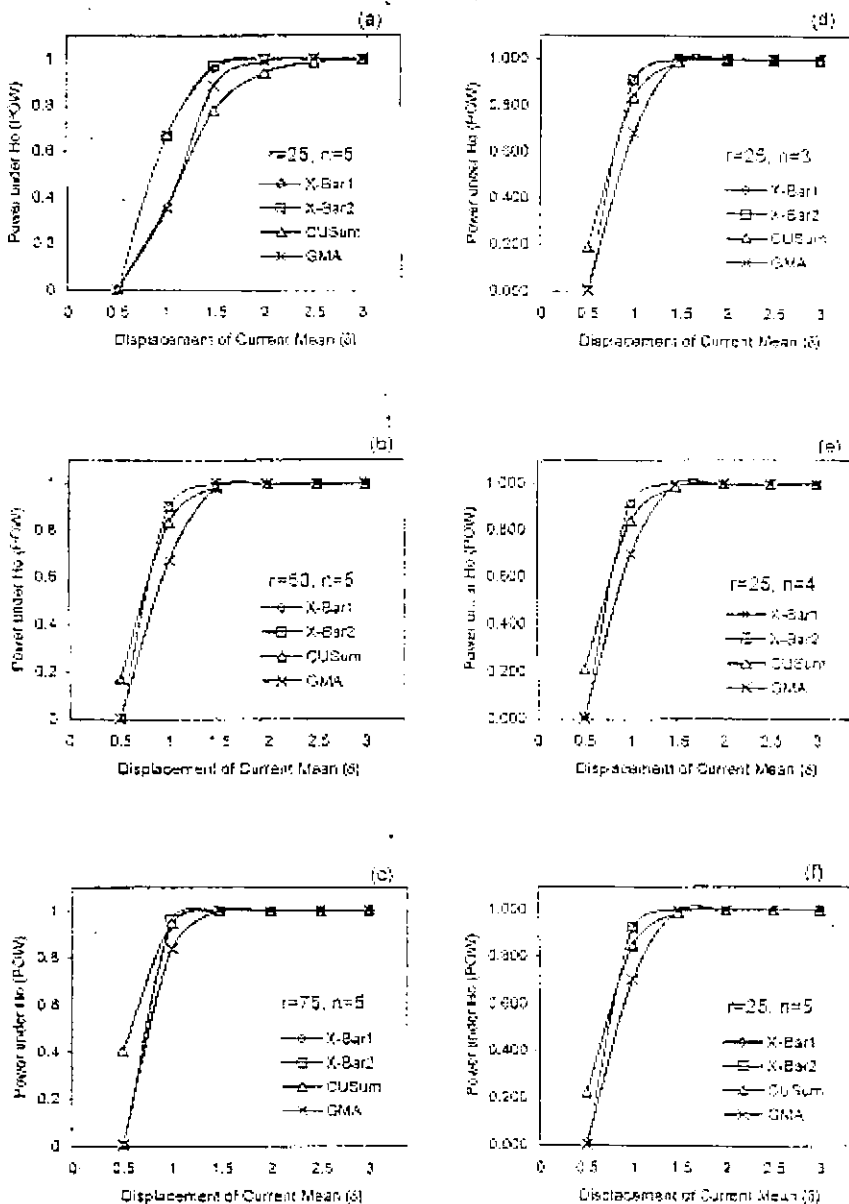
(6) شكل

حاسوبية لوحات شيفير؛ للانحرافات الاتكيرة (δ_{μ})



(7) شكل

العلاقة بين منحنى قوة الاختبار (Power) (حساسية البحوث) والإبعاد عن الوسط (δ) باختلاف حجم العينات (n) وعدد العينات (r)



2. التحليل الاحصائي لنتائج تجربة المحاكاة :

تمهيد :

بعد استعراض النتائج وتحليلها، لابد من معرفة اي من العوامل التي لها تأثير معنوي واي منها غير معنوي، وذلك من خلال جدول تحليل التباين وطريقة اقل فرق معنوي (LSD) وذلك باستخدام البرنامج الاحصائي الجاهز (SPSS).

جدول (7)

جدول تحليل التباين لحساسية اللوحات

Source	Sum of Squares	df	Mean Square	F	Sig.
METHOD	0.227	3	7.563E-02	2078.669	0.000
DELTA	75.742	5	15.148	416328.653	0.000
N	6.952E-04	2	3.476E-04	9.554	0.000
r	1.007	2	0.659	18098.960	0.000
METHOD*DELTA	1.652	15	0.110	3026.061	0.000
METHOD*n	7.465E-05	6	1.244E-05	0.342	0.914
DELTA*n	1.383E03	10	1.383E-04	3.800	0.000
METHOD*r	-0.51	6	8.559E-02	2352.418	0.000
DELTA*r	2.551	10	0.255	7009.988	0.000
n*r	2.756E-06	4	6.890E-07	0.019	0.999
METHOD*DELTA*n	8.062E-04	30	2.687E-05	0.739	0.843
METHOD*DELTA*r	0.560	30	1.867E-02	513.189	0.000
METHOD*n*r	8.800E-05	12	7.333E-06	0.202	0.988
DELTA*n*r	4.766E-04	20	2.383E-02	0.655	0.870
METHOD*DELTA*n*r	5.246E-04	60	8.743E-06	0.240	1.000
Error	1.572E-02	432	3.639E-05		
Total	493.579	647			

يبين لنا الجدول بان الفروق غير معنوية للعوامل كالاتي :

1. حجم العينة (n) مع اللوحات (الطرق) .
2. حجم العينة (n) مع مقدار الانحراف (δ_{μ}) .
3. حجم العينة (n) مع تسلسل العينات (r) .
4. حجم العينة (n) مع تسلسل العينات (r) ولللوحات (الطرق) .
5. حجم العينة (n) مع تسلسل العينات (r) مع مقدار الانحراف (δ_{μ}) .
6. (n) مع (r) مع (δ_{μ}) مع اللوحات (الطرق) .

اما بقية الفروق فهي معنوية .

جدول (8)
المقارنات المتعددة (δ_{ij})

(i) delta	(j) delta	Mean Difference (I-J)	Std. Error	Sig.	95% Confidence Interval	
					Lower Bound	Upper Bound
1.00	2.00	-0.7060	8.209E-04	0.000	-0.7076	-0.7044
	3.00	-0.9133	8.209E-04	0.000		
	4.00	-0.9386	8.209E-04	0.000		
	5.00	-0.9434	8.029E-04	0.000		
	6.00	-0.9443	8.209E-04	0.000		
2.00	1.00	0.7060	8.209E-04	0.000	0.7044	0.7076
	3.00	-0.2073	8.209E-04	0.000	-0.2089	-0.2507
	4.00	-0.2326	8.209E-04	0.000	-0.2342	-0.2310
	5.00	-0.2374	8.209E-04	0.000	-0.2390	-0.2357
	6.00	-0.2383	8.209E-04	0.000	-0.2399	-0.2367
3.00	1.00	0.9133	8.209E-04	0.000	0.9117	0.9149
	2.00	0.2073	8.209E-04	0.000	0.2057	0.2089
	4.00	-2.5306E-02	8.209E-04	0.000	-2.6919E-02	-2.3692E-02
	5.00	-3.0093E-02	8.209E-04	0.000	-3.1706E-02	-2.8479E-02
	6.00	-3.1009E-02	8.209E-04	0.000	-3.2623E-02	-2.9369E-02
4.00	1.00	0.9386	8.209E-04	0.000	0.9370	0.9402
	2.00	0.2326	8.209E-04	0.000	0.2310	0.2342
	3.00	2.531E-02	8.209E-04	0.000	2.369E-02	2.692E-02
	5.00	-4.7870E-03	8.209E-04	0.000	-6.4004E-03	-3.1737E-03
	6.00	-5.7037E-03	8.209E-04	0.000	-7.3171E-03	-4.0903E-03
5.00	1.00	0.9434	8.209E-04	0.000	0.9418	0.9450
	2.00	0.2374	8.209E-04	0.000	0.2357	0.2390
	3.00	3.009E-02	8.209E-04	0.000	2.848E-02	3.171E-02
	4.00	4.787E-03	8.209E-04	0.000	3.174E-03	6.400E-03
	6.00	-9.1667E-04	8.209E-04	0.265	-2.5300E-03	6.697E-04
6.00	1.00	0.9443	8.209E-04	0.000	0.9427	0.9459
	2.00	0.2383	8.209E-04	0.000	0.2367	0.2399
	3.00	3.101E-02	8.209E-04	0.000	2.940E-02	3.262E-02
	4.00	5.704E-03	8.209E-04	0.000	4.090E-03	7.317E-03
	5.00	9.167E-04	8.209E-04	0.265	-6.9671E-04	2.530E-03

يبين لنا الجدول اعلاه بان الفروق بين المتوسطات كلها معنوية عدا الفرق بين السادس والخامس تحت مستوى دلالة (0.05).

جدول (9)

المقارنات المتعددة لحجم العينة (n)

(i) n	(j) n	Mean Difference (I-J)	Std. Error	Sig.	95% Confidence Interval	
					Lower Bound	Upper Bound
					-2.4325E-03 -3.6779E-03	-1.5084E-04 -1.3962E-03
2.00	1.00	1.292E-03	5.804E-04	0.027	1.508E-04	2.432E-03
	3.00	-1.2454E-03	5.804E-04	0.032	-2.3862E-03	-1.0454E-04
3.00	1.00	2.537E-03	5.804E-04	0.000	1.369E-03	3.678E-03
	2.00	1.245E-03	5.804E-04	0.032	1.045E-04	2.386E-03

يظهر لنا الجدول اعلاه بان الفروق بين المتوسطات كلها معنوية تحت مستوى دلالة (0.05) لحجم العينة .

جدول (10)

المقارنات المتعددة لتسليسل العينات (r)

(i) r	(j) r	Mean Difference (I-J)	Std. Error	Sig.	95% Confidence Interval	
					Lower Bound	Upper Bound
					-7.9210E-02 -0.1078	-7.6929E-02 -0.1055
2.00	1.00	7.807E-02	5.804E-04	0.000	7.693E-02	7.921E-02
	3.00	-2.8606E-02	5.804E-04	0.000	-2.9747E-02	-2.7466E-02
3.00	1.00	0.1067	5.804E-04	0.000	0.1055	0.1078
	2.00	2.861E-02	5.804E-04	0.000	2.747E-02	2.975E-02

يظهر لنا الجدول اعلاه بان الفروق بين المتوسطات كلها معنوية تحت مستوى دلالة (0.05) لتسليسل العينات .

جدول (11)
المقارنات المتعددة للوحات

(i) n	(j) n	Mean Difference (I-J)	Std. Error	Sig.	95% Confidence Interval	
1.00	2.00	0.0000	6.702E-04	1.000	Lower Bound	Upper Bound
	3.00	5.327E-03	6.702E-04	0.000		-1.3173E-03
	4.00	4.470E-02	6.702E-04	0.000		1.317E-03 4.010E-03 0.338E-02 6.644E-03 4.601E-02
2.00	1.00	0.0000	6.702E-04	1.000	-1.3173E-03	1.317E-03
	3.00	5.327E-03	6.702E-04	0.000	4.010E-03	6.644E-03
	4.00	4.470E-02	6.702E-02	0.000	0.338E-02	4.601E-02
3.00	1.00	-5.3272E-03	6.702E-04	0.000	-6.6445E-03	-4.0098E-03
	2.00	-5.3272E-03	6.702E-04	0.000	-6.6445E-03	-4.0098E-03
	4.00	3.937E-02	6.702E-02	0.000	3.805E-02	4.069E-02
4.00	1.00	-4.4698E-02	6.702E-04	0.000	-4.6015E-02	-4.3380E-02
	2.00	-4.4698E-02	6.702E-04	0.000	-4.6015E-02	-4.3380E-02
	3.00	-3.9370E-02	6.702E-02	0.000	-4.0688E-02	-3.8053E-02

يظهر لنا الجدول اعلاه بان الفروق بين المتوسطات بين اللوحة (1) و (2) غير معنوية اما باقية المتوسطات فهي معنوية تحت مستوى دلالة (0.05) لحساسية اللوحات .

الاستنتاجات :

- بعد تنفيذ التجربة باستخدام المحاكاة ومن خلال ما تم تحليله من النتائج التي حصلنا عليها توصلنا الى جملة من الاستنتاجات اهمها :
1. ان لوحة (Cusum) لها القدرة على كشف الانحرافات الصغيرة بسرعة عند $\delta_u = 0.5$ كما في الرسوم المشار اليها انفا .
 2. ان لوحة (GMA) لها القدرة على اكتشاف التغير في العملية الانتاجية بفاعلية اكثر مقارنة مع لوحة (Cusum) عند الانحرافات المتوسطة عندما $\delta_u = 1.5, 2$.
 3. ان لوحة \bar{X} و (GMA) لها القدرة على اكتشاف التغير في العملية وتعطي نتائج مرتبة افضل من لوحة (Cusum) عند r_1, r_2 والانحرافات الكبيرة عندما $\delta_u = 2.5, 3$.
 4. اللوحات الثلاث تعطي تقريبا النتائج نفسها عند الانحرافات الكبيرة عندما $\delta_u = 2.5, 3$ عند r_2, r_3 .

5. لوحة \bar{X} لها القدرة على كشف وتشخيص الانحرافات المتوسطة والكبيرة اي عندما $\delta_{\text{rr}} = 1.5 \rightarrow 3$.
6. زيادة فاعلية وحساسية اللوحات لاكتشاف الانحرافات في متوسط العملية الإنتاجية مع زيادة حجم العينة (n) وعدد العينات (r).
7. تتغير حساسية اللوحات مع تغير النموذج من الاول الى الثالث.

المصادر:

1. الحارثي، د. عبد الرحيم خلف والكتاني، د. ايدن حسن حسين، (1992)، "مقارنة بين فاعلية السيطرة المعيارية ولوحة السيطرة التجميعية" ، بحث مقدم للمؤتمر العلمي لجمعية العلوم الاحصائية .
2. هديف، منى هاشن ، (1999)، "مقارنة احصائية بين اسلوب FIR واسلوب اتخاذ القرار لطريقة الرسم البياني ولوحة المجموع التراكمي (Cusum, v-mask)" ، بحث مقبول النشر .
- 3.Emmanuel Yashchin, (1989), "Weighted Cumulative Sum Technique", Technometrics, Augest, Vol. 31, No. 3, pp.321-338 .
- 4.Lucase and Crosier, (1982), "Fast Initial Response for Cusum Quality-Control Schemes: Give your Cusum A Head Start", Technometrics, August, Vol. 24, No. 3, pp.199-205 .
- 5.Molnau, W.E., (2001), "A Program for ARL Calculation for Multivariate EWMA Chart", Journal of Quality Technology, October, Vol. 33, No. 4, pp. 515-521 .
- 6.Roberts, (1966), "A Comparison of Control Chart procedures", Technometrics, Augest, Vol. 8, No. 3, pp.411-430 >
- Taylor, (1986) "The Economic Design of Cumulative Sum Control Chart", Technometrics, August, Vol. 10, No.3, pp. 481-488 .